

Kajian Parametrik Analisis Terma Bumbung Menggunakan Teknik Berangka (Parametric Study of Roofing Thermal Analysis Using Numerical Method)

Muhamad Zahin Mohd Ashhar^a, Lim Chin Haw^{a*}, Ivan Loo^b

^aSolar Energy Research Institute, Universiti Kebangsaan Malaysia, Malaysia^l

^bTerreal (Singapore) Pte Ltd

*Corresponding author: chinhhaw.lim@ukm.edu.my

Received 12 June 2019, Received in revised form 23 September 2019

Accepted 15 December 2019, Available online 28 February 2020

ABSTRACT

The ever-increasing temperature of current climate has brought the attention on reducing the incoming solar heat energy into buildings. The efforts on reducing the dependency on air-conditioning for indoor cooling has led to the implementation of passive cooling strategies in buildings. This paper investigates the implementation of reflective technologies in the form of reflective insulation and radiant barrier systems in a gable roof assembly. The thermal performance of reflective insulation and radiant barrier systems was investigated by using Computational Fluid Dynamics (CFD) simulation. The thermal performance of the reflective technologies was presented in terms of thermal resistivity, RSI value. The study was conducted for several roof configurations where the thickness of reflective air space, roof pitch and the roof material were varied. The results obtained from the CFD simulation was validated against empirical measurements to ensure the simulation gives high accuracy prediction. From the parametric analysis, it was found that thicker reflective air space would provide better air ventilation in the air space area which led to higher thermal resistivity. Besides that, steeper roof pitch would enhance the buoyancy effect and increases the heat exhaustion through the ridge which also results in higher thermal resistivity. In terms of roof tiles material, only small difference was observed in terms of thermal resistivity when switching the roof tiles material between clay tiles and concrete tiles. This research was able to demonstrate the use of CFD simulation in investigating thermal insulation technologies in buildings and this method should be explored further in the future.

Keywords: Reflective insulation; radiant barrier; CFD; roof insulation; thermal resistance

ABSTRAK

Suhu iklim yang semakin meningkat kini telah membawa perhatian untuk mengurangkan tenaga haba solar masuk ke dalam bangunan. Usaha mengurangkan kebergantungan kepada penyaman udara untuk penyejukan dalaman telah membawa kepada pelaksanaan strategi penyejukan pasif dalam bangunan. Makalah ini membentangkan penyiasatan pelaksanaan teknologi reflektif dalam bentuk sistem penebat reflektif dan sistem penghalang bersinar dalam bumbung "gable." Prestasi terma sistem penebat reflektif dan sistem penghalang bersinar telah disiasat dengan menggunakan simulasi Computational Fluid Dynamics (CFD). Prestasi terma teknologi reflektif dibentangkan dari segi ketahanan haba, nilai RSI. Kajian ini dijalankan untuk beberapa konfigurasi bumbung di mana ketebalan ruang udara reflektif, sudut bumbung dan jenis bumbung diubah. Hasil yang diperoleh daripada simulasi CFD telah disahkan dengan data empirik untuk memastikan simulasi memberikan ramalan yang berketepatan yang tinggi. Analisis parametrik menunjukkan ruang udara reflektif yang lebih tebal akan memberikan pengudaraan udara yang lebih baik di kawasan ruang udara dan ini membawa kepada daya tahan haba yang lebih tinggi. Selain itu, sudut bumbung yang lebih curam akan meningkatkan kesan keapungan dan meningkatkan penyingkiran haba melalui rabung yang juga menghasilkan daya tahan haba yang lebih tinggi. Dari segi jenis bumbung, hanya perbezaan kecil diperhatikan dari segi kerintangan haba apabila menukar jenis bumbung antara jubin tanah liat dan jubin konkrit. Kajian ini berjaya menggunakan simulasi CFD dalam menyiasat teknologi penebat haba di bangunan dan kaedah ini harus diterokai lebih lanjut pada masa akan datang.

Kata kunci: Penebat reflektif; penghalang radiasi; CFD; penebat bumbung; penebatan haba

PENGENALAN

Iklim Malaysia dikategorikan sebagai khatulistiwa, iaitu negara yang mempunyai suhu purata tinggi 31.0°C - 33.0°C dan kelembapan yang tinggi sepanjang tahun. Purata

penyiranan harian berkisar dari 4.21 kWh/m² hingga 5.56 kWh/m² sepanjang tahun (Sarawak Energy 2017). Peratusan besar tenaga suria yang diserap oleh permukaan bumbung dan kebanyakan tenaga ini masuk ke dalam bangunan. Walaupun setiap komponen bangunan menyumbang kepada kemasukan

dan kehilangan haba bangunan, komponen bumbung adalah penyumbang tertinggi kepada kenaikan suhu (Hernández-Pérez et al. 2014). Sebanyak 50% haba bangunan di dalam iklim panas adalah melalui komponen bumbung (Nahar et al. 2003).

Haba dari tenaga suria memasuki bangunan melalui pemindahan haba konduksi, perolakan dan radiasi. Daripada jumlah tenaga haba yang memasuki bangunan melalui siling, 87% adalah melalui pemindahan haba radiasi dan selebihnya melalui pemindahan haba konduksi dan perolakan (Richards and Hassal 1977). Dengan menggunakan sistem penebat yang sesuai dalam bumbung bangunan, sebanyak 45% penembusan aliran haba boleh dikurangkan (Medina and Young 2012). Bahan penebat pukal biasanya digunakan untuk penebat haba. Walau bagaimanapun, di dalam negara beriklim panas dan lembap di mana pengaliran haba ke bawah mendominasi, penghalang radiasi dan penebat reflektif adalah pilihan penebat haba yang lebih efektif untuk digunakan di bumbung.

Bagi mengekalkan suhu yang selesa di dalam bangunan, tenaga suria yang masuk ke dalam bangunan melalui bumbung perlu dikurangkan. Oleh kerana peningkatan kos tenaga elektrik pada masa kini, penggunaan tenaga dengan cekap menjadi sangat penting dan kebergantungan kepada penggunaan penyaman udara untuk menyejukkan udara dalam bangunan perlu dikurangkan. Sebaiknya, bangunan perlu direka bentuk dan dibina dengan mempunyai ciri-ciri kecekapan tenaga, keselesaan terma, harga berpatutan dan mesra alam. Salah satu cara untuk mencapai matlamat ini adalah dengan melaksanakan strategi penyejukan pasif. Strategi penyejukan pasif merangkumi tiga kategori iaitu: (i) pencegahan / pengurangan haba, (ii) terma moderasi, dan (iii) pelesapan haba (Geetha and Velraj 2012). Salah satu strategi penyejukan pasif adalah penggunaan teknologi penebat haba di dalam bumbung bangunan.

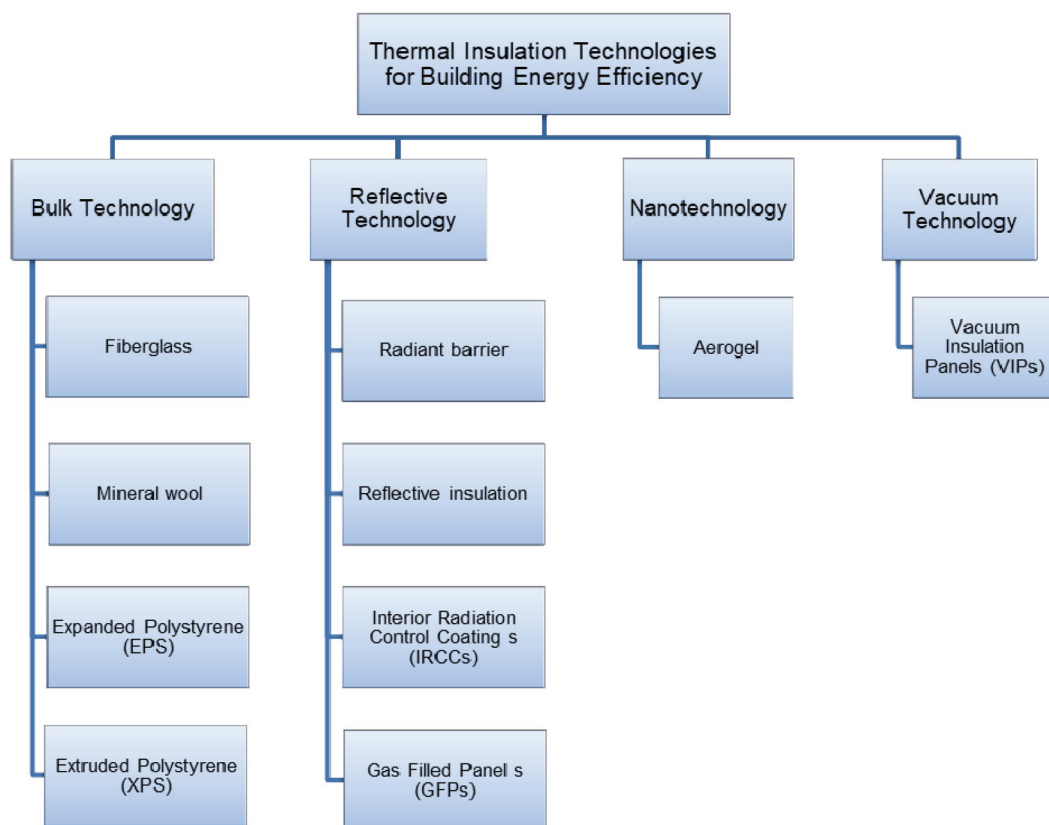
Tujuan bahan penebat haba adalah untuk mengurangkan pengaliran tenaga haba masuk atau keluar dari bangunan. Seperti yang ditunjukkan dalam Rajah 1, kebanyakan teknologi penebat haba yang digunakan dalam bangunan adalah penebat berasaskan udara. Penebat reflektif dan sistem penghalang radiasi berfungsi untuk mengurangkan pemindahan haba radiasi ke dalam bangunan. Kedua-dua sistem penebat reflektif dan sistem penghalang radiasi menggunakan bahan-bahan yang mempunyai kememancaran yang rendah untuk mengurangkan pemindahan tenaga panas di dalam ruang udara tertutup (RIMA 2002). Sistem ini bergantung kepada kekonduksian terma udara yang rendah di ruang udara untuk mengurangkan pemindahan haba seluruh sistem. Sistem penebat reflektif mempunyai ruang udara tertutup bersebelahan dengan permukaan kepancaran yang rendah. Sistem penebat reflektif mempunyai ruang udara sebesar 0.25 m. Bahan penebat reflektif terdiri daripada satu atau lebih kerajang aluminium yang dipasangkan kepada bahan teras untuk sokongan mekanikal. Perintangan haba adalah hasil daripada pengangkutan radiasi yang dikurangkan di ruang udara yang tertutup. Selain itu, perintangan terma sistem

penebat reflektif bergantung kepada orientasi sistem tersebut. Sistem penghalang radiasi mesti mempunyai ruang udara berventilasi atau tidak berventilasi, yang umumnya lebih besar daripada 0.5 m. Sistem penghalang radiasi terdiri daripada permukaan kememancaran rendah yang menghadap ruang udara yang besar dengan satu atau lebih ruang udara yang tertutup. Prestasi sistem penghalang bersinar bergantung kepada arah aliran haba, yang bermakna prestasi sistem penghalang bersinar akan berbeza pada musim panas dan musim sejuk disebabkan oleh arah aliran haba yang berbeza (Yarbrough 2010).

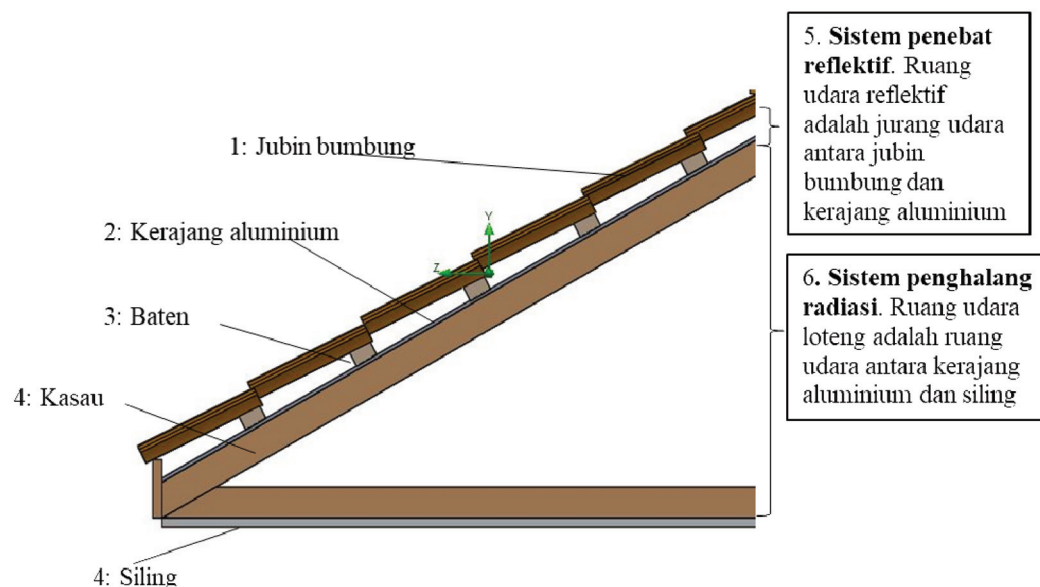
Dalam sistem penebat reflektif, kerajang reflektif seperti aluminium dipasang di bawah juben bumbung yang dipisahkan oleh baten, mewujudkan ruang udara di antara juben bumbung dan kerajang reflektif. Dalam sistem penebat reflektif, kerajang reflektif mesti dipasang menghadap ruang udara yang tertutup. Bagaimanapun, agak mustahil untuk menjadikan ruang udara antara juben bumbung dan kerangka reflektif sebagai udara yang tidak berventilasi. Sendi-sendi juben tersebut menghasilkan aliran udara antara di dalam ruang udara dan luar, yang membolehkan pengudaraan udara menjadi faktor penyumbang kepada sistem ini. Selain dari itu, kerajang reflektif yang menghadap ruang loteng membentuk sistem penghalang radiasi. Keberkesanan sistem penghalang radiasi sangat dipengaruhi oleh ventilasi udara di ruang loteng. Kedua-dua sistem ini boleh digabungkan di dalam bumbung dan pelaksanaan gabungan kedua-dua sistem ini digambarkan dalam Rajah 2.

Beberapa karya penyelidikan telah dijalankan dalam menganalisis faktor-faktor yang mempunyai kesan ke atas prestasi penebat reflektif dan sistem penghalang radiasi. Kesan kepancaran bahan penebat pada prestasi terma bumbung telah disiasat sebelum ini (Roels and Deurinck, 2011) (Yarbrough et al. 2016). Adalah terbukti bahawa bahan kepancaran yang lebih rendah akan menghasilkan pengaliran haba yang lebih rendah ke ruang loteng. Prestasi terma bahan kepancaran rendah telah dilaporkan oleh Saber (2013), dimana penyelidik tersebut menyatakan bahawa bahan yang mempunyai kepancaran yang rendah menyumbang kepada ketahanan haba yang lebih tinggi dalam sesebuah sistem. Penggunaan kerajang aluminium sebagai bahan penebat kepancaran yang rendah di dalam bumbung telah disiasat sebelum ini (Dos et al. 2015). Para penyelidik tersebut telah menggunakan model matematik untuk menganalisis pengurangan fluks haba apabila kerajang aluminium digunakan sebagai bahan penebat dalam bumbung. Penggunaan kerajang aluminium yang mempunyai kepancaran yang rendah sebagai lapisan penebat di bawah juben mengurangkan sebanyak 40% fluks haba di permukaan dalam bumbung.

Ketebalan ruang udara reflektif adalah salah satu parameter penting yang mempengaruhi prestasi sistem penebat reflektif. Ketebalan ruang udara yang mencukupi diperlukan untuk mengurangkan pemindahan haba berseri melalui ruang udara yang mencerminkan. Walaupun ruang udara reflektif dalam sistem penebat reflektif sepatutnya tidak berventilasi, pengaliran udara ke dalam ruang



RAJAH 1. Klasifikasi bahan penebat (Lee et al. 2016)



RAJAH 2. Padangan rentang lintang bumbung yang menggabungkan sistem penebat reflektif dan sistem halangan radiasi

udara reflektif tidak dapat dielakkan disebabkan oleh kebolehtelapan udara jumbuck itu sendiri (Bottarelli et al. 2017). Walaubagaimanapun, ventilasi udara memberikan kesan yang positif bagi mengurangkan kemasukan haba melalui bumbuck dan meningkatkan keselesaan termal di dalam bangunan. Kesan gabungan bahan penebat reflektif dan kadar aliran udara dalam ruang udara yang berventilasi

yang berlaku disebabkan oleh pemindahan haba perolakan membantu untuk mengurangkan haba kerana aliran udara panas dari tepi bumbuck dan keluar melalui rabung (Roels dan Deurinck 2011). Ketebalan jurang udara yang besar adalah bagus untuk meningkatkan kadar aliran udara dan mengurangkan suhu jumbuck (Li et al. 2016). Selain itu, meningkatkan kadar aliran udara yang lebih tinggi

di ruang udara reflektif akan meningkatkan peratusan pengurangan fluks haba ke dalam bumbung dengan sistem penghalang radiasi (Miranville et al. 2012; Gagliano et al. 2012). Kesan sudut kecenderungan ruang udara reflektif dan arah aliran haba pada prestasi haba ruang udara reflektif yang tertutup telah dikaji sebelum ini (Saber 2015). Keputusan mereka menunjukkan bahawa untuk aliran haba ke bawah, halaju udara dalam ruang udara tertutup untuk kes sudut kecerunan 0° lebih rendah daripada kes 30° . Selain itu, daya tahan haba ruang udara yang tertutup dengan sudut kecenderungan 30° lebih rendah daripada ruang udara yang tertutup bersudut 0° .

Beberapa penyelidikan telah dijalankan ke atas penggunaan sistem penghalang radiasi dalam loteng untuk mengurangkan aliran haba masuk ke dalam bangunan melalui siling. Medina (2000) menjalankan kedua-dua simulasi pengiraan dan kajian eksperimen untuk mengkaji penggunaan sistem penghalang radiasi di dalam loteng. Peratusan pengurangan fluks haba melalui bumbung yang dijumpai adalah antara 25% dan 42%, dan hasilnya juga menunjukkan bahawa pengurangan pemindahan haba oleh penghalang radiasi menurun apabila penebatan loteng meningkat. Kajian ini diperluaskan lagi untuk menilai prestasi sistem penghalang radiasi untuk iklim yang berlainan di Amerika Syarikat (Medina dan Young 2006). Kajian ini dijalankan menggunakan simulasi komputer untuk mengkaji keberkesanan penghalang radiasi di dalam ruang loteng yang membentuk segitiga. Keputusan kajian menunjukkan bahawa peratusan pengurangan dalam fluks haba siling berbeza untuk iklim yang berbeza. Oleh itu, prestasi sistem penghalang radiasi di dalam loteng bergantung kepada iklim di mana bangunan itu terletak. Suhu udara, kelembapan udara, dan ketinggian tempatan memberi kesan pertama pada prestasi sistem halangan berseri. Peratusan fluks haba melalui siling adalah dari 36.8% dalam iklim Savana Savanna dan 2.3% dalam iklim Mediterranean. Soubdhan et al. (2005) mengkaji penggunaan bahan penebat yang berbeza pada pengurangan fluks haba di dalam bumbung bangunan. Empat sel kajian dibina untuk empat konfigurasi penebat iaitu; polistirena, penghalang radiasi, kaca serat dan tiada penebat sebagai sel rujukan. Keputusan menunjukkan bahawa penghalang radiasi berjaya mengurangkan penembusan fluks haba sebenaray 33% hingga 37% berbanding dengan tiada sel rujukan penebat. Keputusan mereka juga menyatakan bahawa satu lapisan jurang udara diperlukan untuk menyediakan jalan keluar untuk fluks haba yang dipantulkan. Apabila ruang udara berventilasi, penghalang radiasi adalah bahan penebat yang paling berkesan. Miranville et al. (2012) menjalankan ujian empirikal untuk mengkaji penggunaan multi-reflective radiant barrier (MRRB) yang dipasang di atas bumbung. Lapisan ruang udara teratas berventilasi secara mekanikal untuk mengkaji kesan pengudaraan udara berventilasi. Dari penyelidikan mereka, didapati bahawa MRRB berjaya mengurangkan jumlah fluks haba yang besar melalui bumbung, lebih-lebih lagi ketika ruang udara berventilasi. Kadar aliran udara yang lebih tinggi

menghasilkan pengurangan fluks haba yang lebih tinggi dan rintangan bumbung tersebut meningkat. Baru-baru ini, Fantucci et al. (2019) mengkaji gabungan penebat reflektif dalam bentuk kerajang aluminium dan cat kepancaran yang rendah di bawah jubin bumbung dalam sistem bumbung. Hasil kajian penyelidikan tersebut menunjukkan pengurangan kenaikan haba musim panas antara 10% hingga 53% dan pengurangan maksimum suhu musim panas dalam bangunan sebanyak 1.2°C .

Parameter lain yang telah dikaji adalah kesan mengubah sudut bumbung pada prestasi terma bumbung. Kajian tentang kesan bumbung pada beban pendinginan bangunan bumbung bumbung telah dijalankan oleh (Wang et al. 2012). Penyelidikan ini dilakukan dengan menjalankan simulasi CFD 2D, mensimulasikan aliran gelora di dalam ruang loteng untuk pelbagai sudut bumbung. Kajian mereka mendapat bahawa peningkatan bumbung dari 3/12 hingga 8/12 menyebabkan penurunan dalam beban pendinginan sekitar 9%. Para penyelidik juga mencadangkan bahawa mengubah sudut bumbung sahaja mempunyai kesan terhad ke atas beban penyejukan loteng. Walaubagaimanapun, penyelidikan mereka hanya tertumpu pada ruang loteng bumbung dan mengabaikan pengaruh struktur bumbung lain yang mungkin mempunyai kesan yang signifikan terhadap prestasi terma bumbung. Kesan mengubah sudut bumbung pada pengeluaran haba dikaji sebelum ini dan didapati bahawa apabila kecerunan bumbung meningkat kepada 55° , aliran udara terhasil dan menyebabkan halaju aliran udara dan perbezaan suhu meningkat. Sudut bumbung yang lebih curam menghasilkan jumlah haba yang keluar meningkat kerana daya apungan yang terhasil (Lee et al. 2009).

Baru-baru ini, Teh et al. (2017) menjalankan eksperimen untuk mendapatkan data prestasi terma bagi pelaksanaan teknologi reflektif dalam bumbung. Sel-sel kajian dibina untuk mendapatkan data fana untuk cuaca Malaysia yang panas dan lembap. Kajian ini dijalankan untuk pelbagai konfigurasi bumbung di mana ketebalan ruang udara reflektif, bahan jubin bumbung, dan bahan-bahan penebat diubah. Prestasi terma setiap sel ujian dinilai dari segi ketahanan haba nilai RSI. Makalah ini menggunakan ukuran empirikal dari Teh et al. (2017) untuk mengesahkan keputusan yang diperolehi dari simulasi CFD.

Dalam kajian-kajian yang dikemukakan dalam kesusasteraan, parameter-parameter yang mempunyai kesan ke atas prestasi terma penebat reflektif dan sistem penghalang radiasi adalah seperti kepancaran bahan reflektif, ketebalan ruang udara reflektif, sudut bumbung dan sudut kecenderungan ruang udara tertutup telah dibentangkan. Walaupun bagaimanapun, kombinasi penebat reflektif dan sistem penghalang radiasi dalam bumbung masih belum dikaji. Selain itu, analisis parametrik prestasi terma bumbung keseluruhan dari segi nilai RSI belum diterokai secara intensif. Ketebalan dan kecenderungan ruang udara reflektif boleh menyebabkan percanggahan pergerakan udara di dalam ruang udara yang akan mempengaruhi ketahanan haba. Selain itu, mengubah sudut bumbung

mungkin akan memberi kesan terhadap pemindahan haba perlakuan haba melalui ruang loteng, dan rintangan haba parameter ini belum dikaji.

Objektif kajian ini adalah untuk mengkaji prestasi terma bumbung yang berpenebat terma dengan menggunakan teknik simulasi CFD untuk pelbagai konfigurasi bumbung. Prestasi terma dinilai dengan mengira nilai rintangan haba, nilai RSI untuk keseluruhan bumbung.

Konfigurasi bumbung yang dikaji dalam kajian ini adalah; (a) ketebalan ruang udara reflektif: 25 mm, 50 mm, 75 mm, dan 100 mm. dan (b) sudut bumbung: 30° dan 45°. Bahan julin bumbung: julin tanah liat dan julin konkrit.

ISTILAH-ISTILAH PENEBAT HABA

Istilah-istilah yang digunakan untuk sifat-sifat penebat haba adalah (ASTM 2017):

- Kehantaran Terma, nilai-U adalah ukuran haba yang dipancar melalui sesuatu bahan pembinaan atau sempadan filem udara yang berpunca dari perbezaan suhu antara bahan dan persekitaran. Unit yang digunakan untuk mengukur nilai U adalah W/m²K. Unit tersebut dikira dengan membahagikan kekonduksian terma bahan dengan ketebalan bahan sebagaimana dinyatakan dalam Persamaan (1) di bawah:

$$U = \frac{\lambda}{l} \quad (1)$$

- di mana: λ adalah kekonduksian terma bahan (W/mK), l adalah ketebalan material (m), dan nilai-U menunjukkan prestasi kesan penebatan bahan. Nilai-U yang rendah bermakna sifat penebat bahan tersebut adalah baik.
- Rintangan terma, nilai RSI, adalah ukuran rintangan kepada aliran haba dalam keadaan mantap, melalui sesuatu ketebalan bahan. Ini bermakna bahan yang mempunyai nilai RSI yang lebih tinggi, akan mempunyai rintangan yang lebih tinggi terhadap aliran haba yang melaluinya. Oleh itu, bahan penebat haba seharusnya mempunyai nilai RSI yang tinggi. Nilai RSI yang dinyatakan dalam unit SI sebagai m²K/W dan boleh dikira menggunakan Persamaan (2) di bawah.

$$RSI = \frac{1}{U} \quad (2)$$

Menurut undang-undang *Fourier*, rintangan terma, nilai RSI juga boleh dinyatakan sebagai:

$$RSI = \frac{\Delta T}{\Delta Q} \quad (3)$$

dimana; ΔT adalah perbezaan suhu antara dua permukaan (K), ΔQ adalah fluks haba merentasi dua permukaan (W/m²).

STANDARD MALAYSIA (MS 1525)

Kemasukan terkini MS 1525 ke *Uniform Building By-Law* (UBBL) Seksyen 38A- (2), di mana bangunan kediaman dan bukan kediaman wajib untuk mendapatkan kelulusan pihak berkuasa Kepancaran Terma (nilai-U) yang boleh dicapai oleh bumbung bangunan tersebut. Menurut UBBL Seksyen 38A- (2), bumbung semua bangunan (kediaman dan bukan kediaman) tidak mempunyai nilai-U melebihi 0.4 W/m²K untuk bumbung ringan (50 kg/m² ke bawah) dan 0.6 W/m²K untuk bumbung berat (melebihi 50 kg/m²) kecuali dengan cara lain iaitu dengan teknik peneduhan dan penyejukan (Jabatan Piaawaian Malaysia, 2014). Pelaksanaan peraturan ini masih belum jelas, dan perhitungan nilai-U yang dilaksanakan peraturan ini tidak berdasarkan pemasangan bumbung keseluruhan.

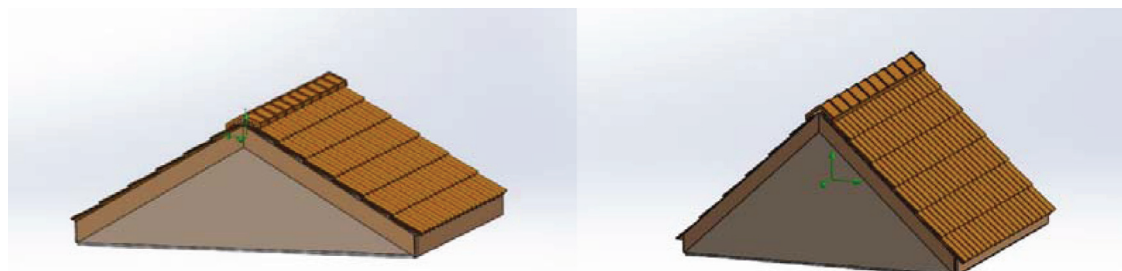
METODOLOGI

SIMULASI CFD

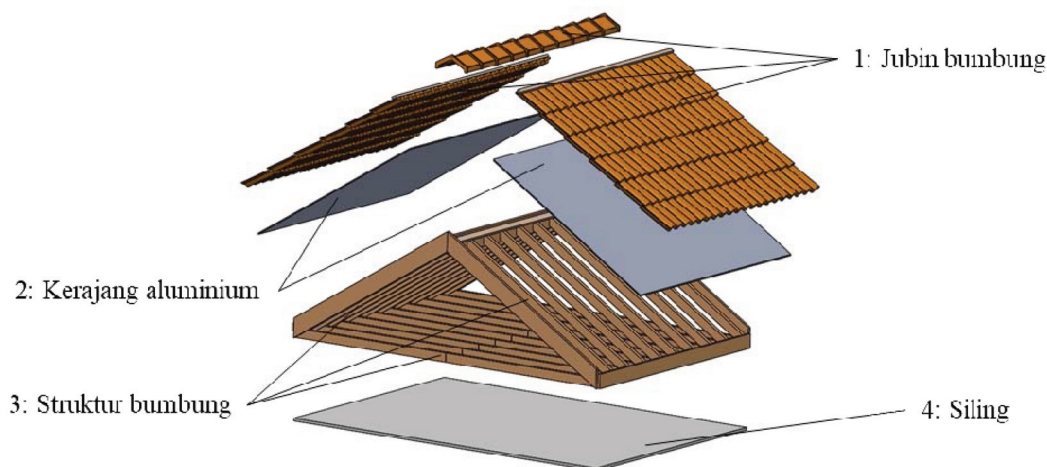
Dalam kajian ini, perisian FloEFD - alat pakej CFD telah digunakan. FloEFD menggunakan k- ϵ model pergolakan (model standard) untuk menyelesaikan simulasikan 3D keadaan mantap.

KONFIGURASI BUMBUNG

Untuk kajian ini, pemindahan haba melalui bumbung telah dikaji sebagai sebuah sistem bebas, di mana kesan pemindahan haba dari struktur-struktur rumah yang lain tidak diambil kira. Selain itu, hanya bumbung gable dipertimbangkan dalam kajian ini kerana ia dikenali sebagai jenis bumbung umum yang digunakan di rumah kediaman di Malaysia. Sudut bumbung 30° dan 45° dikaji dalam kajian



RAJAH 3. (i) Bumbung bersudut 30°. (ii) Bumbung bersudut 45°



RAJAH 4. Pandangan besar bumbung yang menggabungkan sistem penebat reflektif dan sistem penghalang radiasi
(1: Jubin bumbung; 2: Kerajang bumbung; 3: Struktur bumbung; 4: Siling)

ini untuk mengkaji kesan mengubah sudut bumbung pada prestasi terma bumbung.

Rajah 4 menunjukkan komponen utama bumbung bumbung yang diselidiki, di mana sistem penebat reflektif dan sistem penghalang radiasi digabungkan di dalam bumbung bumbung yang dikaji. Konfigurasi bumbung adalah sama untuk bumbung bersudut 30° dan bumbung bersudut 45° . Jumlah panjang, lebar dan ketinggian bumbung adalah $4.2\text{ m} \times 3.3\text{ m} \times 1.7\text{ m}$ dan $3.5\text{ m} \times 3.3\text{ m} \times 2.1\text{ m}$ untuk bumbung bersudut 30° dan bumbung bersudut 45° . Walaubagaimanapun, bumbung bersudut 45° mempunyai ketinggian yang lebih tinggi dan panjang yang lebih pendek kerana sudut bumbung tersebut meningkat sementara jumlah permukaan permukaan jubin bumbung dikenalkan. Pandangan keratan lintang bumbung yang dikaji boleh dirujuk di Rajah 2. Ketebalan ruang udara reflektif yang diselidiki dalam kajian ini adalah 25 mm, 50 mm, 75 mm, dan 100 mm. Ruang udara reflektif tidak wujud apabila kerajang aluminium tidak dipasang.

SYARAT SEMPADAN

Bahan yang digunakan dalam simulasi ialah: udara sebagai cecair, tanah liat dan konkrit sebagai jubin bumbung, kerajang aluminium sebagai bahan penebat reflektif, kayu sebagai struktur bumbung (kasau dan baten), dan papan gypsum sebagai siling. Saiz computational domain telah ditetapkan sebesar $5\text{ m} \times 4\text{ m} \times 3\text{ m}$ untuk merangkumi saiz bumbung tersebut. Spesifikasi bahan-bahan yang digunakan

dalam simulasi adalah seperti yang disenaraikan di dalam Jadual 1 bawah:

Oleh kerana kajian ini bertujuan untuk mensimulasikan bumbung dalam persekitaran luar, simulasi CFD analisis jenis eksternal telah digunakan. Suhu ambien simulasi telah ditetapkan kepada 33°C . Radiasi haba antara 600 W/m^2 dan 1000 W/m^2 dipancarkan ke arah jubin bumbung untuk simulasikan radiasi matahari. Tekanan atmosfera ditetapkan sebanyak 101.3kPa . Halaju udara ditetapkan pada 0.5 m/s , dan kelembapan relatif dianggarkan pada tahap 60% pada hari panas biasa di Kuala Lumpur.

Finite volume method digunakan untuk penyelesaian berangka model bumbung yang dikaji. Untuk meramal aliran gelora, persamaan tenaga, jisim dan momentum (Favre-averaged Navier-Stokes) diadaptasikan. Kualiti mesh mempengaruhi ketepatan bacaan apabila dibandingkan dengan hasil kajian empirikal. Oleh itu, untuk mencapai simulasikan yang tepat pada bumbung tersebut, mesh yang lebih banyak dan padat digunakan di kawasan yang mempunyai geometri yang rumit seperti jubin bumbung. Mesh yang padat juga digunakan pada bahan yang memerlukan kepekaan yang lebih tinggi untuk mendapat keputusan yang tepat seperti lapisan penebat reflektif dan siling. Mesh kasar digunakan pada struktur bumbung lain seperti kasau, rabung, dan di semua struktur bumbung. Salah satu ciri FloEFD adalah teknik penghalusan mesh pada komponen yang dikehendaki. Ciri ini digunakan pada jubin bumbung, penebat dan siling, dengan tahap penghalusan tertinggi digunakan pada jubin bumbung disebabkan kerumitan

JADUAL 1. Senarai sifat bahan yang digunakan dalam simulasi CFD

Bahan	Kepancaran (ε)	Kekonduksian Terma ($\text{W/m}\cdot\text{K}$)	Kapasiti Haba Spesifik ($\text{J/K}\cdot\text{kg}$)	Ketumpatan (kg/m^3)
Jubin tanah liat	0.9	0.84	800	1900
Jubin konkrit	0.9	1.10	837	2100
Papan gypsum	0.85	0.16	840	950
Kayu	0.90	0.14	1200	650
Kerajang aluminium	0.03	0.896	167	2689

geometri jubit tersebut. Jumlah sel mesh yang digunakan dalam simulasi adalah sebanyak 199374 untuk perhimpunan bumbung, dan simulasi itu selesai dan converge selepas lebih daripada 200 lelaran.

PENGIRAAN NILAI RSI DARI HASIL SIMULASI CFD

Kajian ini bertujuan untuk mengkuantifikasikan prestasi haba sistem penebat reflektif dan sistem penghalang radiasi di dalam bumbung dengan mengira rintangan haba, nilai RSI. Untuk mencapai itu, persamaan berikut akan digunakan untuk memperoleh nilai RSI berdasarkan suhu dan nilai fluks haba yang diperolehi daripada simulasi CFD.

$$RSI_{Jumlah} = RSI_A + RSI_B \quad (4)$$

$$RSI_{Jumlah} = \frac{T_1 - T_2}{Q_A} + \frac{T_2 - T_3}{Q_B} \quad (5)$$

di mana; RSI_A adalah nilai RSI sistem penebat reflektif, RSI_B adalah nilai RSI sistem penghalang radiasi, RSI_{Jumlah} adalah jumlah nilai RSI untuk bumbung keseluruhan, T_1 adalah suhu purata permukaan jubit bumbung, T_2 ialah suhu purata permukaan bahan penebat reflektif, T_3 ialah suhu purata permukaan siling, Q_A adalah fluks haba merentasi ruang udara reflektif, dan Q_B adalah fluks haba merentasi ruang loteng.

KEPUTUSAN DAN PERBINCANGAN

PENGESAHAN KEPUTUSAN CFD TERHADAP KEPUTUSAN KAJIAN EMPIRIKAL

Untuk memastikan bahawa keputusan yang tepat diperolehi oleh simulasi CFD, keputusan CFD mesti terlebih dahulu disahkan dengan beberapa keputusan empirikal yang diperolehi oleh kajian empirikal yang dijalankan oleh Teh et al. (2017). Oleh disebabkan beberapa batasan dalam menjalankan kajian empirikal, hanya beberapa keputusan kajian yang dapat dibandingkan. Keputusan yang dapat dibandingkan adalah bagi bumbung bersudut 30° jubit tanah liat dan jubit bumbung konkrit dengan ketebalan ruang udara reflektif setebal 25 mm. Dengan menggunakan persamaan *mean absolute percentage error* (MAPE), ketepatan keputusan yang diperolehi oleh simulasi CFD

boleh dianggarkan. Persamaan MAPE adalah seperti yang ditunjukkan dalam persamaan (6) di sebelah:

$$MAPE = \frac{1}{N} \sum_{k=1}^N \frac{|A_t - F_t|}{A_t} \quad (6)$$

di mana; A_t adalah nilai sebenar ukuran empirikal. F_t adalah nilai ramalan daripada simulasi CFD, dan N adalah bilangan kajian.

Jadual 2 membentangkan data yang digunakan untuk mengesahkan keputusan simulasi CFD terhadap keputusan kajian empirikal dengan menggunakan persamaan MAPE. Nilai MAPE di antara keputusan simulasi CFD dan kajian empirikal menunjukkan ralat sebanyak 3.60%. Ini menunjukkan bahawa simulasi CFD menghasilkan keputusan yang tepat dan boleh diterima apabila dibandingkan dengan keputusan kajian empirikal. Oleh itu, boleh dikatakan bahawa FloEFD adalah perisian CFD yang boleh dipercayai dan boleh digunakan untuk menyiasat dan meramalkan nilai RSI konfigurasi dan reka bentuk bumbung yang lain.

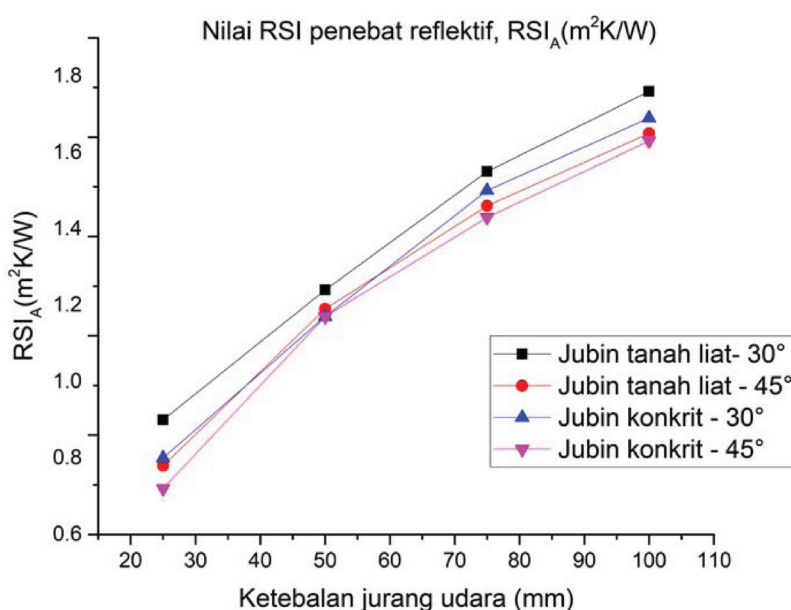
NILAI RSI

NILAI RSI SISTEM PENEBAT REFLEKTIF (RSI_A)

Rajah 5 menunjukkan nilai RSI sistem penebat reflektif dalam bumbung untuk ketebalan ruang udara reflektif dari 25 mm hingga 100 mm dengan jubit tanah liat dan jubit konkrit. Apabila ketebalan ruang udara reflektif meningkat, nilai RSI bagi sistem penebat reflektif meningkat. Ini disebabkan oleh peningkatan pengudaraan udara di dalam kawasan ruang udara reflektif apabila ketebalan bertambah. Ini menyebabkan kadar aliran udara panas dari tepi bumbung ke rabung meningkat. Oleh itu, kehilangan haba yang disebabkan oleh perolakan haba meningkat, dan penembusan fluks haba ke dalam siling berkurang. Di samping itu, dapat dilihat bahawa bumbung bersudut 45° mempunyai nilai RSI yang sedikit lebih rendah daripada perhimpunan bumbung bersudut 30° . Ini adalah benar untuk semua ketebalan ruang udara reflektif dan untuk kedua-dua bahan bumbung. Fenomena ini sejajar dengan rintangan haba ruang udara untuk pelbagai kecurungan ruang udara yang tertutup seperti yang dilaporkan dalam

JADUAL 2. Kiraan Mean absolute percentage error (MAPE)

Jenis dan konfigurasi bumbung	Nilai RSI dari kajian empirikal	Hasil simulasi CFD	Ralat peratusan (%)
Jurang udara 25 mm dengan jubit tanah liat (fasa 5)	2.40 (Teh et al. 2017)	2.37	1.25
Jurang udara 25 mm dengan jubit konkrit (fasa 3)	2.15 (Teh et al. 2017)	2.33	8.37
Jurang udara 25 mm dengan jubit konkrit (fasa 5)	2.26 (Teh et al. 2017)	2.33	3.10
Jurang udara 25 mm dengan jubit konkrit (fasa 1)	2.37 (Teh et al. 2017)	2.33	1.69
Mean absolute percentage error			3.60



RAJAH 5. Nilai RSI sistem penebat reflektif untuk pelbagai ketebalan jurang udara reflektif

ASHRAE Handbook of Fundamentals di mana ruang udara reflektif yang curam menghasilkan rintangan yang sedikit rendah (ASHRAE 2009).

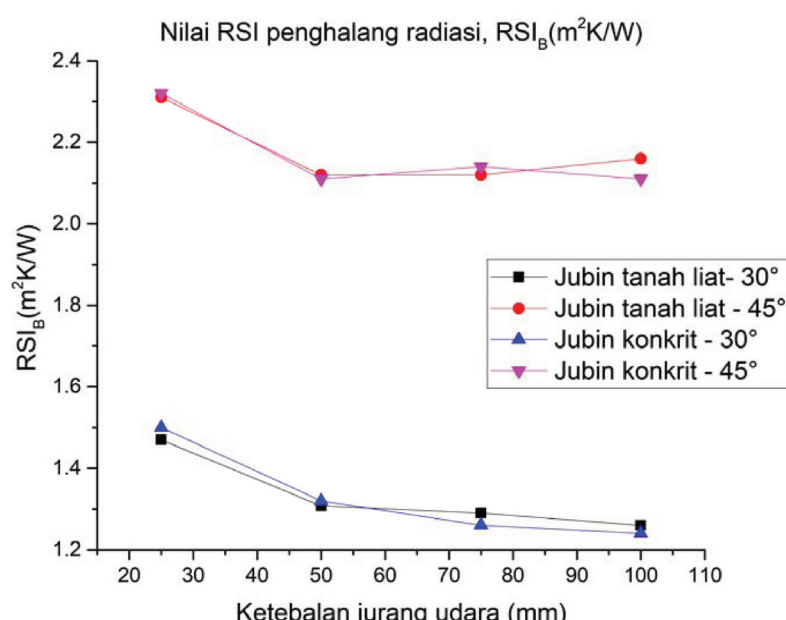
NILAI RSI SISTEM PENAHAN RADIASI, RSI_B

Rajah 6 menunjukkan nilai RSI sistem penghalang radiasi di dalam bumbung dengan ketebalan ruang udara yang reflektif dari 25 mm hingga 100 mm dengan jubin tanah liat dan jubin konkrit. Nilai RSI sistem penghalang radiasi untuk bumbung bersudut 45° adalah jelas lebih besar daripada bumbung bersudut 30°. Adalah jelas bahawa ruang loteng memainkan peranan yang lebih besar dalam menyumbang kepada nilai RSI bumbung secara keseluruhan daripada ruang udara reflektif.

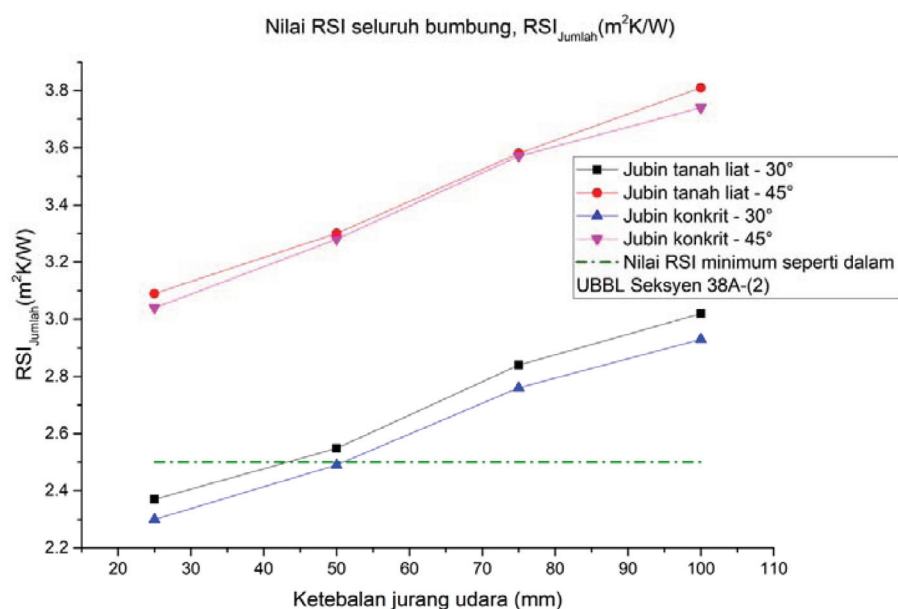
Bumbung yang curam membawa kepada kesan keapungan yang lebih tinggi (Lee et al. 2009). Kesan keapungan yang lebih tinggi membawa kepada arus udara yang lebih tinggi di bumbung bersudut 45°. Aliran udara mengurangkan pengumpulan haba dan mengurangkan aliran haba yang dipindahkan ke dalam siling (Gagliano et al. 2012).

JUMLAH NILAI RSI SELURUH BUMBUNG, RSI_{JUMLAH}

Rajah 7 menunjukkan jumlah nilai RSI seluruh bumbung untuk bumbung dengan ketebalan ruang udara yang reflektif dari 25 mm hingga 100 mm dengan jubin tanah liat dan jubin konkrit. Jumlah nilai RSI jauh lebih tinggi untuk bumbung bersudut 45° daripada bersudut 30°. Selain itu,



RAJAH 6. Nilai RSI sistem penghalang radiasi untuk pelbagai ketebalan jurang udara reflektif



RAJAH 7. Jumlah nilai RSI seluruh bumbung untuk pelbagai ketebalan jurang udara reflektif

jumlah nilai RSI meningkat apabila ketebalan ruang udara reflektif meningkat, dan jumlah nilai RSI untuk jubin konkrit sedikit lebih rendah daripada jubin tanah liat untuk semua konfigurasi bumbung. Ini kerana jubin tanah liat mempunyai kekonduksian haba yang lebih rendah daripada jubin konkrit. Oleh itu, jubin konkrit dapat memindahkan haba lebih baik daripada jubin tanah liat yang menyebabkan penembusan fluks haba sedikit lebih tinggi untuk bumbung berjubin konkrit. Simulasi CFD meramalkan bahawa jumlah nilai RSI melepas nilai RSI minimum yang dinyatakan dalam *UBBL Seksyen 38A-(2)* apabila ketebalan ruang udara reflektif adalah 50 mm dan 60 mm bagi jubin tanah liat dan jubin konkrit masing-masing untuk bumbung bersudut 30°. Untuk bumbung bersudut 45°, nilai RSI melepas nilai RSI minimum untuk semua konfigurasi bumbung.

SUMMARY OF RSI VALUES

Rajah 8 dan Rajah 9 membutirkkan nilai RSI sistem penebat reflektif dan nilai RSI penghalang radiasi untuk bumbung bersudut 30° dan bumbung 45° menggunakan jubin bumbung tanah liat dan jubin bumbung konkrit. Trend nilai RSI adalah

serupa untuk kedua-dua jenis jubin bumbung. Daripada kedua-dua rajah tersebut, ia boleh dirumuskan bahawa:

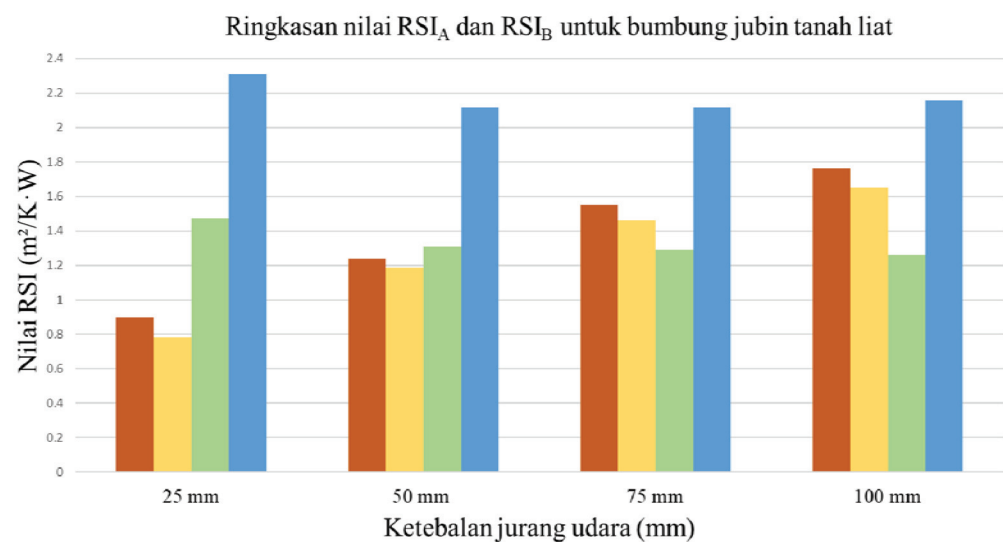
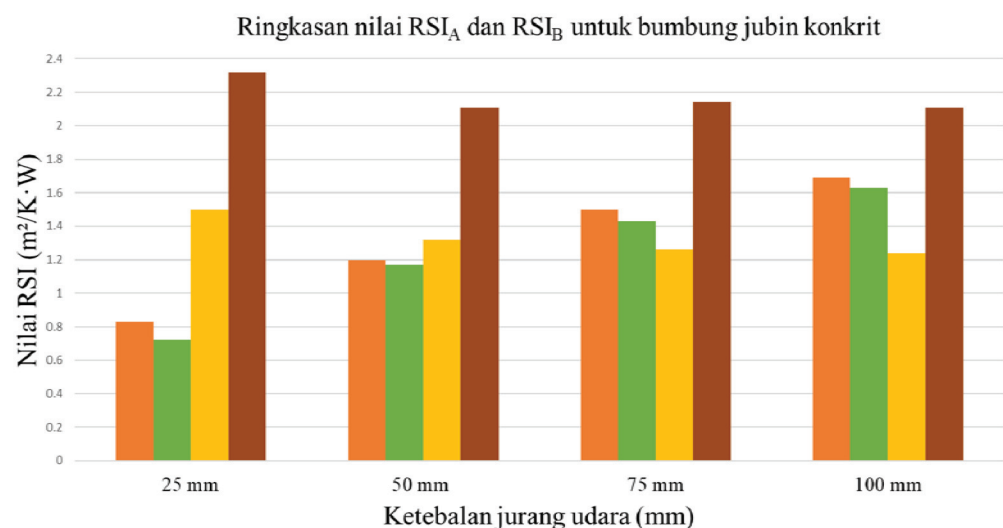
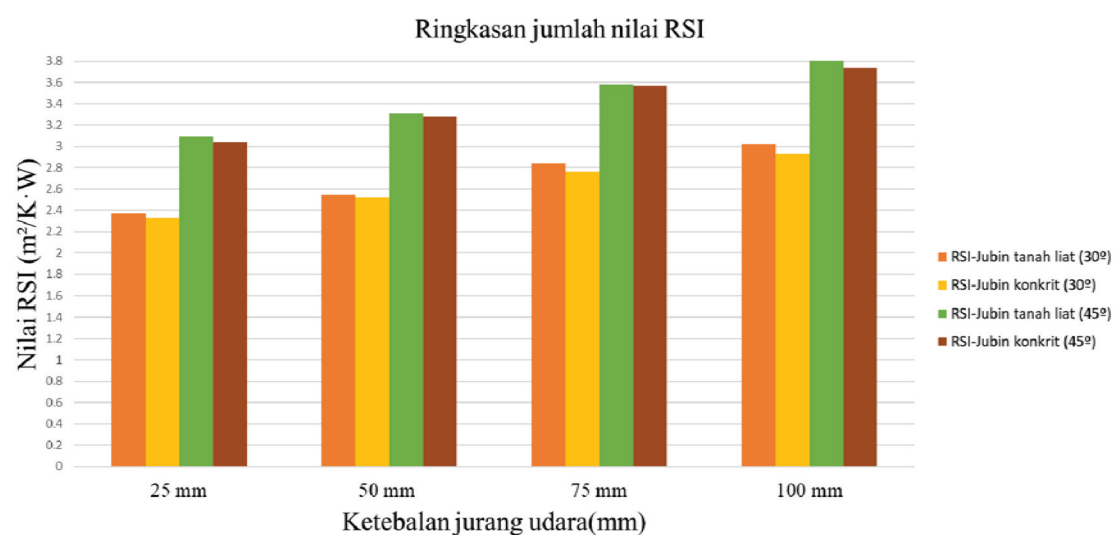
- Nilai-nilai RSI sistem penebat reflektif untuk bumbung bersudut 45° adalah lebih rendah sedikit daripada bumbung bersudut 30° untuk semua ketebalan ruang udara reflektif.
- Nilai RSI sistem penghalang radiasi untuk bumbung bersudut 45° adalah lebih tinggi daripada bumbung bersudut 30° untuk semua ketebalan ruang udara reflektif.

Walaupun nilai-nilai RSI sistem penebat reflektif meningkat apabila ketebalan ruang udara reflektif meningkat, nilai RSI sistem penghalang radiasi berkang apabila ruang udara reflektif ketebalan bertambah.

Rajah 10 menunjukkan jumlah nilai RSI bumbung untuk pelbagai ketebalan ruang udara reflektif untuk pelbagai konfigurasi bumbung. Jumlah nilai RSI bumbung bersudut 45° jauh lebih besar daripada bumbung bersudut 30°. Jumlah nilai RSI bumbung yang menggunakan jubin konkrit lebih rendah daripada perhimpunan bumbung yang menggunakan jubin tanah untuk semua ketebalan ruang udara reflektif.

JADUAL 3. Ringkasan kesemua nilai RSI

Jenis bumbung	Sudut bumbung	Ketebalan jurang udara reflektif											
		25 mm				50 mm				75 mm			
		RSI _A	RSI _B	RSI _{Jumlah}	RSI _A	RSI _B	RSI _{Jumlah}	RSI _A	RSI _B	RSI _{Jumlah}	RSI _A	RSI _B	RSI _{Jumlah}
Jubin tanah liat	30°	0.9	1.47	2.37	1.24	1.31	2.55	1.55	1.29	2.84	1.76	1.26	3.02
	45°	0.78	2.31	3.09	1.19	2.12	3.30	1.46	2.12	3.58	1.65	2.16	3.81
Jubin konkrit	30°	0.83	1.5	2.33	1.2	1.32	2.52	1.5	1.26	2.76	1.69	1.24	2.93
	45°	0.72	2.32	3.04	1.17	2.11	3.28	1.43	2.14	3.57	1.63	2.11	3.74

RAJAH 8. Ringkasan nilai RSI_A dan RSI_B untuk bumbung jubin tanah liatRAJAH 9. Ringkasan nilai RSI_A dan RSI_B untuk bumbung jubin konkrit

RAJAH 10. Jumlah nilai RSI untuk semua konfigurasi bumbung

KESIMPULAN

Kajian simulasi CFD prestasi terma bumbung berpenebat haba yang menggabungkan sistem penebat reflektif dan sistem penghalang radiasi telah dijalankan. Kajian ini dijalankan menggunakan teknik simulasi 3D CFD dengan bantuan pengisian FloEFD. Hasil yang diperolehi oleh simulasi telah disahkan dengan kajian empirikal, yang menunjukkan *MAPE* sebanyak 3.60%. Siasatan dijalankan untuk mensimulasikan cuaci hari yang panas di Kuala Lumpur. Parameter yang diselidiki adalah ketebalan ruang udara reflektif, kecondongan bumbung, dan bahan jubin bumbung. Prestasi terma pemasangan bumbung dinilai dari segi rintangan haba, iaitu nilai RSI. Daripada hasil kajian simulasi tersebut, didapati bahawa peningkatan ketebalan ruang udara reflektif, berjaya meningkatkan daya tahan haba sistem penebat reflektif. Ruang udara reflektif tebal meningkatkan pengudaraan udara dan meningkatkan kadar aliran udara dari tepi bumbung ke rabung dan mengurangkan penembusan fluks haba melalui siling. Walaubagaimanapun, hasil kajian juga mendapati bahawa bumbung bersudut 45° mempunyai kesan yang lebih besar untuk meningkatkan daya tahan haba bumbung. Disebabkan sudut bumbung yang lebih curam, kesan keapungan meningkat di ruang loteng dan mengurangkan pengumpulan haba, dan ini mengakibatkan penembusan fluks haba yang lebih rendah. Hasil kajian ini juga menunjukkan bahawa terdapat sedikit perbezaan daya rintangan terma antara jubin tanah liat dan jubin konkrit. Walaubagaimanapun, jenis pemindahan haba di dalam bumbung adalah sama untuk kedua-dua jenis bahan jubin. Simulasi CFD meramalkan bahawa untuk bumbung bersudut 30°, jumlah nilai RSI melepas nilai minimum RSI 2.5 m²/W·K apabila ketebalan ruang udara reflektif adalah 50 mm dan 60 mm bagi jubin tanah liat dan jubin konkrit masing-masing. Untuk bumbung bersudut 45°, nilai RSI melepas nilai RSI minimum untuk semua konfigurasi bumbung. Simulasi yang diperolehi menunjukkan bahawa penggunaan sistem penebat reflektif dan sistem penghalang radiasi dalam bumbung gable mampu memberikan penebatan haba yang mencukupi untuk bangunan. Tahap peningkatan keselesaan terma dalam bangunan oleh sistem penebatan terma harus dijadikan subjek kajian masa depan. Akhir sekali, penggunaan teknik simulasi CFD harus dijadikan kaedah alternatif untuk menyiasat keberkesanan teknologi penebat haba di bangunan dan kaedah ini harus diterokai dengan lebih lanjut.

PENGHARGAAN

Para penulis ingin mengucapkan setinggi-tinggi perhargaan kepada Universiti Kebangsaan Malaysia atas sokongan kewangan mereka di bawah geran AP-2017-006/1. Para pengarang juga ingin mengucapkan terima kasih kepada Persidangan Antarabangsa ReSTED 2019 untuk menerima kertas penyelidikan ini

RUJUKAN

- ASTM. 2017. ASTM C168-15a Standard Terminology Relating to Thermal Insulation. 2017 Edition. ASTM International (ASTM).
- ASHRAE. 2009. Heat, air and moisture control in building assemblies - Material properties. In: *ASHRAE Handbook of Fundamentals*, 26: 1-2622.
- Bottarelli, M., Zannoni, G., Bortoloni, M., Allen, R., & Cherry, N. 2017. CFD analysis and experimental comparison of novel roof tile shapes. *Propulsion and Power Research* 6(2): 134-139.
- Dos Santos, G. H. and Mendes, N. 2015. Numerical analysis of hygrothermal performance of reflective insulated roof coatings. *Applied Thermal Engineering* 81: 66-73.
- Fantucci, S. and Serra, V. 2019 Investigating the performance of reflective insulation and low emissivity paints for the energy retrofit of roof attics. *Energy and Buildings* 182: 300-310.
- Gagliano, A., Patania, F., Nocera, F., Ferlito, A., & Galesi, A. 2012. Thermal performance of ventilated roofs during summer period. *Energy and Buildings* 49: 611-618.
- Geetha, N. B. and Velraj, R. 2012. Passive cooling methods for energy efficient buildings with and without thermal energy storage - A review. *Energy Education Science and Technology Part A: Energy Science and Research* 29(2): 913-946.
- Hernández-Pérez, I., Álvarez, G., Xamán, J., Zavala-Guillén, I., Arce, J., & Simá, E. 2014. Thermal performance of reflective materials applied to exterior building components - A review. *Energy and Buildings* 80: 81-105.
- Jabatan Piaawai Malaysia. 2014. *Malaysian Standard. Energy efficiency and use of renewable energy for residential buildings - Code of practice*.
- Lee, S., Park, S. H., Yeo, M. S., & Kim, K. W. 2009. An experimental study on airflow in the cavity of a ventilated roof. *Building and Environment* 44(7): 1431-1439.
- Lee, S. W., Lim, C. H., & Salleh E. 2016. Reflective thermal insulation systems in building: A review on radiant barrier and reflective insulation. *Renewable and Sustainable Energy Reviews* 65: 643-661.
- Li, D., Zheng, Y., Liu, C., Qi, H., & Liu, X. 2016. Numerical analysis on thermal performance of naturally ventilated roofs with different influencing parameters. *Sustainable Cities and Society* 22: 86-93.
- Medina, M. A. 2012. A comprehensive review of radiant barrier research including laboratory and field experiments. *ASHRAE Transactions* 118(1): 400-407.
- Medina, M. A. and Young, B. 2006. A perspective on the effect of climate and local environmental variables on the performance of attic radiant barriers in the United States. *Building and Environment* 41(12): 1767-1778.
- Miranville, F., Fakra, A. H., Guichard, S., Boyer, H., Praene, J. P., & Bigot, D. 2012. Evaluation of the thermal resistance of a roof-mounted multi-reflective radiant barrier for tropical and humid conditions: Experimental

- study from field measurements. *Energy and Buildings* 48: 79-90.
- Nahar, N., Sharma, P. and Purohit, M. M. 2003. Performance of Different Passive Techniques for Cooling of Buildings in Arid Regions. *Building and Environment* 38(1): 109-116.
- Richards, F. and Hassal, D. 1977. *Reflective Insulation and the Control of Thermal Environments*. Available at: <http://www.concertinafoilbatts.com/acireflective.pdf>.
- RIMA. 2002. Reflective Insulation, Radiant Barriers And Radiation Control Coatings. Second Edition. *Reflective Insulation Manufacturers Association International* (RIMA).
- Roels, S. and Deurinck, M. 2011. The effect of a reflective underlay on the global thermal behaviour of pitched roofs. *Building and Environment* 46(1): 134-143.
- Saber, H. H. 2013. Thermal performance of wall assemblies with low emissivity. *Journal of Building Physics* 36(3): 308-329.
- Saber, H. H. 2015. Thermal Resistance of Enclosed Reflective Airspaces. *Construction Portfolio, National Research Council Canada* 1(613): 1-16.
- Sarawak Energy. 2017. Solar Energy by Sarawak Energy. Sarawak Energy. <https://www.sarawakenergy.com/what-we-do/power-generation> [19 March 2018].
- Soubdhan, T., Feuillard, T. and Bade, F. 2005. Experimental evaluation of insulation material in roofing system under tropical climate. *Solar Energy* 79(3): 311-320.
- Teh, K. S., Yarbrough, D. W., Lim, C. H., & Salleh, E. 2017. Field evaluation of reflective insulation in south east Asia. *Open Engineering* 7(1): 352-362.
- Wang, S., Shen, Z. and Gu, L. 2012. The impact of roof pitch and ceiling insulation on cooling load of naturally-ventilated attics. *Energies* 5(7): 2178-2196.
- Yarbrough, D. W., San Teh, K., Haw, L. C., Salleh, E., Mat, S., & Sulaiman, M. Y. 2016. Hybrid and reflective insulation assemblies for buildings. *Journal of Geoscience and Environment Protection* 2016: 1-11.
- Yarbrough, D. W. 2010. Reflective materials and radiant barriers for insulation in buildings. *Materials for Energy Efficiency and Thermal Comfort in Buildings*. O'reilly